

# OSSERVATORI DELLO STATO

$$(\Sigma) \quad \begin{cases} \dot{x} = Ax + Bu \\ y = Cx \end{cases} \quad x(t_0) \text{ non è noto!}$$

Copia di  $\Sigma$

$$(\Sigma_0) \quad \begin{cases} \dot{\xi} = A\xi + Bu \\ \hat{y} = C\xi \end{cases} \quad \begin{matrix} \xi(t_0) \neq \\ x(t_0) \end{matrix}$$

errore di stima

$$e = x - \xi \quad \Rightarrow \quad e(t_0) = x(t_0) - \xi(t_0) \neq 0$$

$$\begin{aligned} \dot{e} = \dot{x} - \dot{\xi} &= (Ax + Bu) - (A\xi + Bu) \\ &= A(x - \xi) = Ae \end{aligned}$$

Osservatore (ad uscita chiusa) di Luenberger

$$(\Sigma_0) \quad \begin{cases} \dot{\xi} = A\xi + Bu + G(y - \hat{y}) \\ \hat{y} = C\xi \end{cases}$$

$$\begin{aligned} \dot{e} = \dot{x} - \dot{\xi} &= Ax + Bu - (A\xi + Bu + GC(x - \xi)) \\ &= (A - GC)(x - \xi) = (A - GC)e \end{aligned}$$

$$e(t) = \exp[(A - GC)(t - t_0)] e(t_0) \rightarrow 0? \quad \text{per } t \rightarrow \infty$$

$$\dot{e} = (A - GC)e$$

$$\sigma\{A - GC\} = \sigma\{(A - GC)^T\}$$

$$= \sigma\{A^T + C^T(-G)^T\}$$

per valutare "A + Bk"

assegnabilità degli autovalori di  $A - GC$   
 se  $(A^T, C^T)$  è raggiungibile

$$n = \rho[C^T \ A^T C^T \ (A^T)^2 C^T \ \dots \ (A^T)^{n-1} C^T] =$$

$$= \rho \begin{bmatrix} C \\ CA \\ CA^2 \\ \vdots \\ CA^{n-1} \end{bmatrix}$$

↔ osservabilità della  
 coppia  $(A, C)$

$$\Rightarrow G = -K^T$$

(dove  $K$  assegna gli  
 autovalori alle coppie  
 $(A^T, C^T)$ )

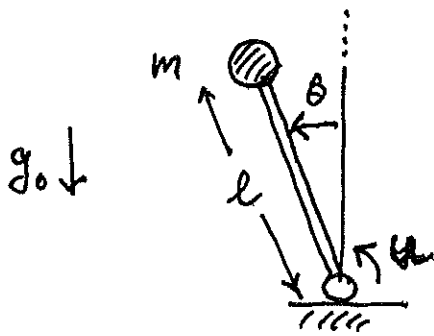
⇒ formula di Ackermann)

Relabilità

$$\rho \begin{pmatrix} A - \lambda I \\ C \end{pmatrix} \neq 0 \quad \text{allora OK!}$$

$\forall \lambda = \lambda_i : \operatorname{Re}[\lambda_i] \geq 0$

## Osservatore (pendolo inverso)



massa concentrata in punta

bilancero delle coppie

$$ml^2 \cdot \ddot{\theta} - mg_0 l \sin \theta = u$$

Linearizzazione attorno a  $\theta = 0$  (punto di equilibrio instabile ad quello aperto):  $\sin \theta \approx \theta$

$$ml^2 \ddot{\theta} - mg_0 l \theta = u$$

variabili di stato  $x = \begin{pmatrix} x_1 \\ x_2 \end{pmatrix} = \begin{pmatrix} \theta \\ \dot{\theta} \end{pmatrix} \in \mathbb{R}^2$

$$\begin{aligned} \dot{x} = \begin{pmatrix} \dot{x}_1 \\ \dot{x}_2 \end{pmatrix} &= \begin{pmatrix} x_2 \\ \frac{mg_0 l}{ml^2} x_1 + \frac{1}{ml^2} u \end{pmatrix} = \begin{pmatrix} 0 & 1 \\ \frac{g_0}{l} & 0 \end{pmatrix} x + \begin{pmatrix} 0 \\ \frac{1}{ml^2} \end{pmatrix} u \\ &= Ax + bu \end{aligned}$$

osserviamo solo la posizione  $\theta$ :  $y = \theta = x_1 = \begin{pmatrix} 1 & 0 \end{pmatrix} x = Cx$

Possono ricostruire l'intero stato con un osservatore di Luenberger?

matrice di osservabilità  $O = \begin{bmatrix} C \\ CA \end{bmatrix} = \begin{bmatrix} 1 & 0 \\ 0 & 1 \end{bmatrix} \Rightarrow \rho(O) = 2 = n$

SI!

Osservatore:  $\begin{aligned} \dot{\xi} &= A\xi + Bu + G(y - C\xi) \\ &= (A - GC)\xi + Bu + Gy \end{aligned} \quad \xi \in \mathbb{R}^2$

Scegliamo di collocare gli autovalori della A-GC (nel semipiano a parte reale negativa) nelle radici dell'equazione:

$$p^*(\lambda) = \lambda^2 + \alpha_1 \lambda + \alpha_0 \quad (\alpha_1, \alpha_0 > 0)$$

Ad esempio in  $\lambda_1 = -10 + j$ ,  $\lambda_2 = -10 - j$

$$(\lambda - \lambda_1)(\lambda - \lambda_2) = (\lambda + 10 - j)(\lambda + 10 + j) = \lambda^2 + \underset{\uparrow}{20} \lambda + \underset{\uparrow}{101}$$

$\alpha_1 \qquad \alpha_0$

i) metodo diretto (la matrice dinamica è  $2 \times 2$ , quindi semplice)

$$G = \begin{bmatrix} G_1 \\ G_2 \end{bmatrix} : A - GC = \begin{bmatrix} -G_1 & 1 \\ \frac{g_0}{e} - G_2 & 0 \end{bmatrix}$$

$$\det[\lambda I - (A - GC)] = \det \begin{bmatrix} \lambda + G_1 & -1 \\ G_2 - \frac{g_0}{e} & \lambda \end{bmatrix}$$

$$= \lambda^2 + G_1 \lambda + \left(G_2 - \frac{g_0}{e}\right)$$

$$\Rightarrow G_1 = \alpha_1 \quad G_2 = \alpha_0 + \frac{g_0}{e}$$

ii) metodo per dualità

$$\sigma(A - GC) = \sigma(A^T + C^T(-G^T)) = \sigma(A^T + C^T K)$$

con  $K = -G^T$  e uso la formula di Ackerman per assegnare con  $K$  gli autovalori (utilizzando la coppia  $(A^T, C^T)$ )

$$A^T = \begin{pmatrix} 0 & \frac{g_0}{e} \\ 1 & 0 \end{pmatrix} \quad C^T = \begin{pmatrix} 1 \\ 0 \end{pmatrix}$$

$$R = [C^T \ A^T C^T] = \begin{bmatrix} 1 & 0 \\ 0 & 1 \end{bmatrix} \rightarrow R^{-1} = \begin{bmatrix} 1 & 0 \\ \boxed{0} & 1 \end{bmatrix} \leftarrow g$$

$$K = -g P^*(A^T)$$

$$\begin{aligned} P^*(A^T) &= (A^T)^2 + \alpha_1 (A^T) + \alpha_0 I \\ &= \begin{pmatrix} \frac{g_0}{l} & 0 \\ 0 & \frac{g_0}{l} \end{pmatrix} + \alpha_1 \begin{pmatrix} 0 & g_0/l \\ 1 & 0 \end{pmatrix} + \alpha_0 \begin{pmatrix} 1 & 0 \\ 0 & 1 \end{pmatrix} \\ &= \begin{pmatrix} \frac{g_0}{l} + \alpha_0 & \alpha_1 \frac{g_0}{l} \\ \alpha_1 & \frac{g_0}{l} + \alpha_0 \end{pmatrix} \end{aligned}$$

$$K = -g P^*(A^T) = - \begin{pmatrix} \alpha_1 & \frac{g_0}{l} + \alpha_0 \end{pmatrix}$$

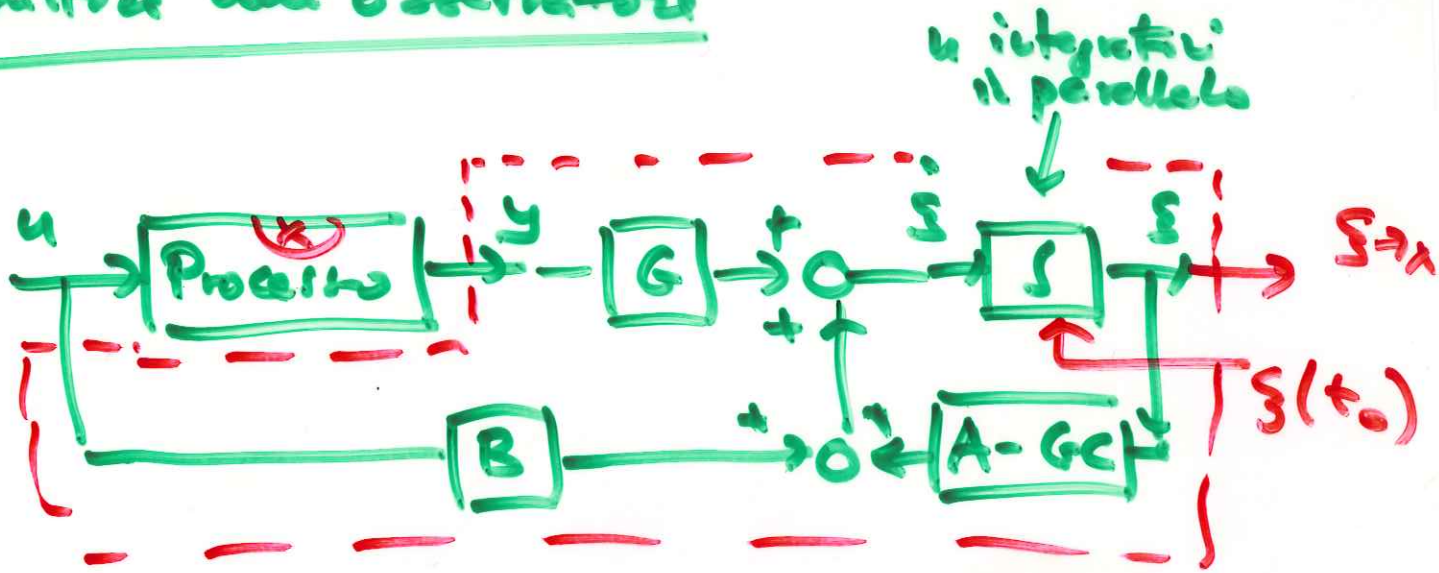
e infine

$$G = -K^T = \begin{pmatrix} \alpha_1 \\ \alpha_0 + \frac{g_0}{l} \end{pmatrix}$$

ovviamente, lo stesso risultato del metodo precedente

△

# Struttura dell'osservatore



$\dim \xi = \dim x = n$

$$\dot{\xi} = A\xi + Bu + G(y - C\xi)$$

$\uparrow$   
 $\hat{y}$  dell'osservatore

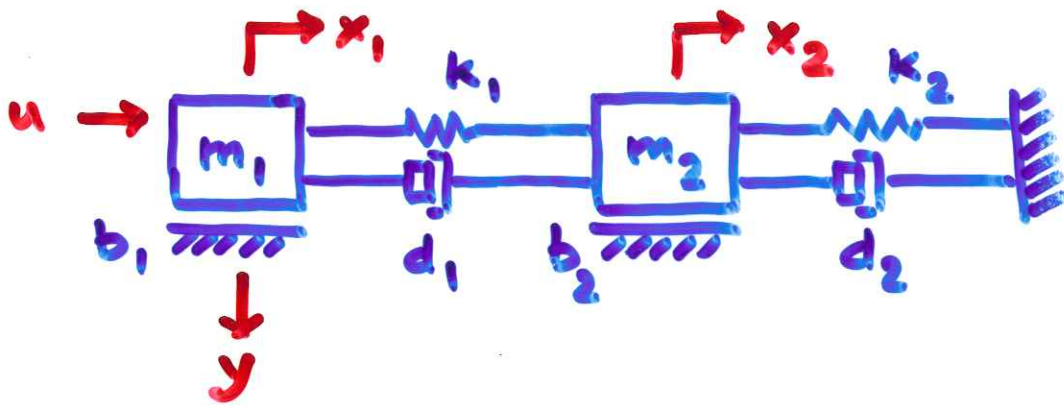
stato dinamico di  
 dimensione  $\textcircled{n}$  = dim. stato processo

↓ in realtà

ho a disposizione  $y = Cx$   $\updownarrow$  p uscite  
 $\uparrow$  misore (lin. indip.)

è possibile costruire un osservatore di  
 dimensione ridotta pari a  $\textcircled{n-p}$

## Esempio



Schematizzazione del controllo di posizione di un utensile in una macchina a controllo numerico

$m_1 + m_2$  = massa utensile movimentato

$k_1$  = rigidità strutturale utensile (ideale  $\rightarrow \infty$ )

$d_1$  = smorzamento " "

$k_2$  = rigidità ambiente in contatto

$d_2$  = smorzamento " "

$b_1, b_2$  = attrito viscoso nel movimento

Si muove l'utensile con la forza  $u$ , si può misurare solo la posizione  $y = x_1$ , a monte della deformazione

□ Si desidera "ricostruire" la posizione effettiva (e la velocità) della punta dell'utensile  $x_2$  ( $\dot{x}_2$ )

```

% Esempio di osservatore dello stato con simulazione
%
% il processo e' un sistema di due masse in moto
% con attrito, collegate da molla e smorzatore,
% con l'uscita sulla massa dove agisce il controllo
% e con l'altra massa ancorata con molla e smorzatore
% ad un riferimento fisso
%
% Da utilizzare come file dati e elaborazione per i
% programmi Simulink
%
% OssOpenLoop_ModIO, OssLuenberg_ModIO, OssLuenberg_ModS
%
% Generato da A. De Luca
% 24 Maggio 1993

```

```

% dati processo

```

```

m1=1;
m2=1;
k1=100;
k2=100;
d1=1;
d2=1;
b1=1;
b2=1;

```

masse, rigidità, smorzamenti, attriti

```

% matrici del processo

```

```

n=4;
A=[ 0 0 1 0;
    0 0 0 1;
    -k1/m1 k1/m1 -(b1+d1)/m1 d1/m1;
    k1/m2 -(k1+k2)/m2 d1/m2 -(b2+d1+d2)/m2];
B=[0 0 1/m1 0]';
C=[1 0 0 0];
autovalA=eig(A);

```

```

% stato iniziale vero del processo

```

```

x0=[0.1 0.1 -2 2]';

```

```

% stato iniziale stimato dell'osservatore

```

```

xs0=[0.1 0 0 0]';

```

N.B.  $\hat{x}_1 = y = x_1$  perché lo misuro direttamente!



```
% localizzazione poli dell'osservatore
```

```
lambda=-10;      % provato anche con -5  
P=[lambda lambda lambda lambda]';
```

} 4 poli coincidenti

```
% test osservabilita'
```

```
OB=obsv(A,C);  
rgOB=rank(OB);
```

```
if rgOB<n
```

```
    disp(' Sistema non completamente osservabile! ');
```

```
else
```

```
    K=acker(A',C',P);
```

```
    L=K';
```

```
end;
```

} assegnazione "duale"

```
% verifica assegnazione
```

```
Aobs=A'-C'*L';
```

```
Pobs=eig(Aobs);
```

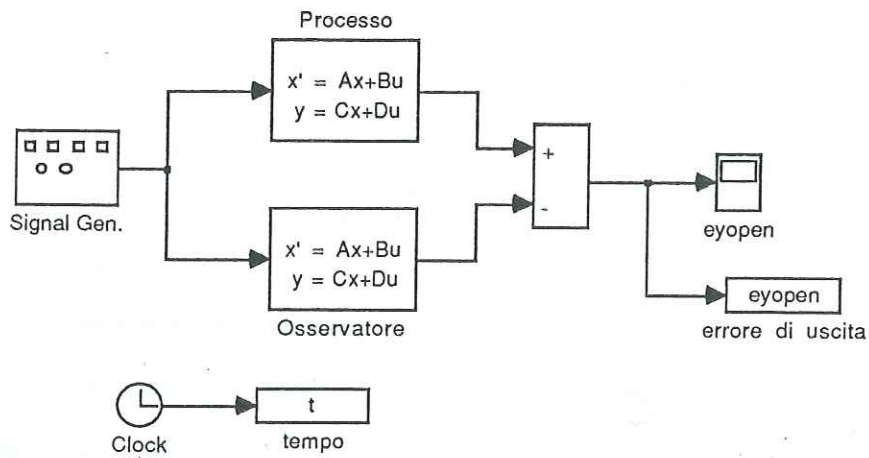


check numerico

```
% end
```

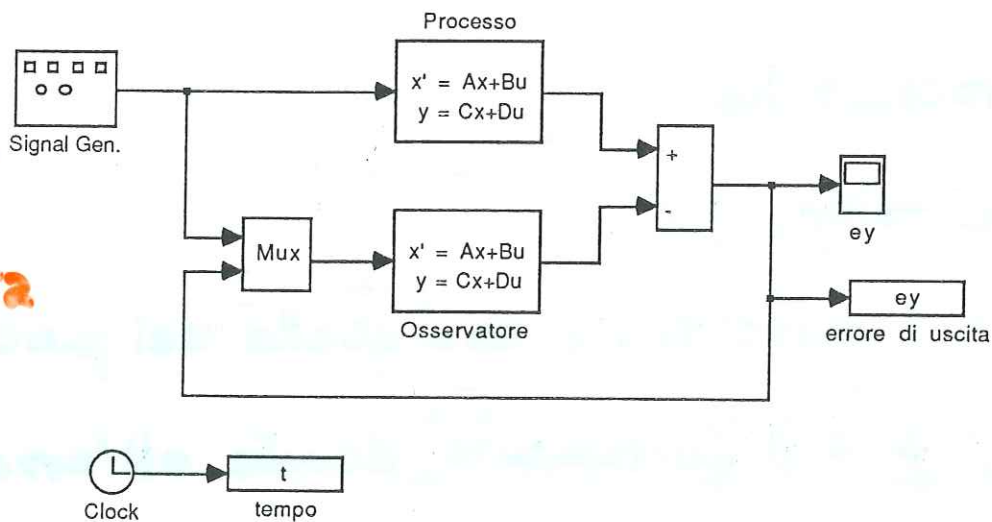
# Osservatore ad ANELLO APERTO

onda  
quadrata



# Osservatore ad ANELLO CHIUSO (di Luenberger)

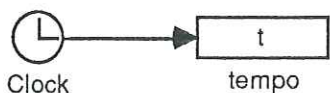
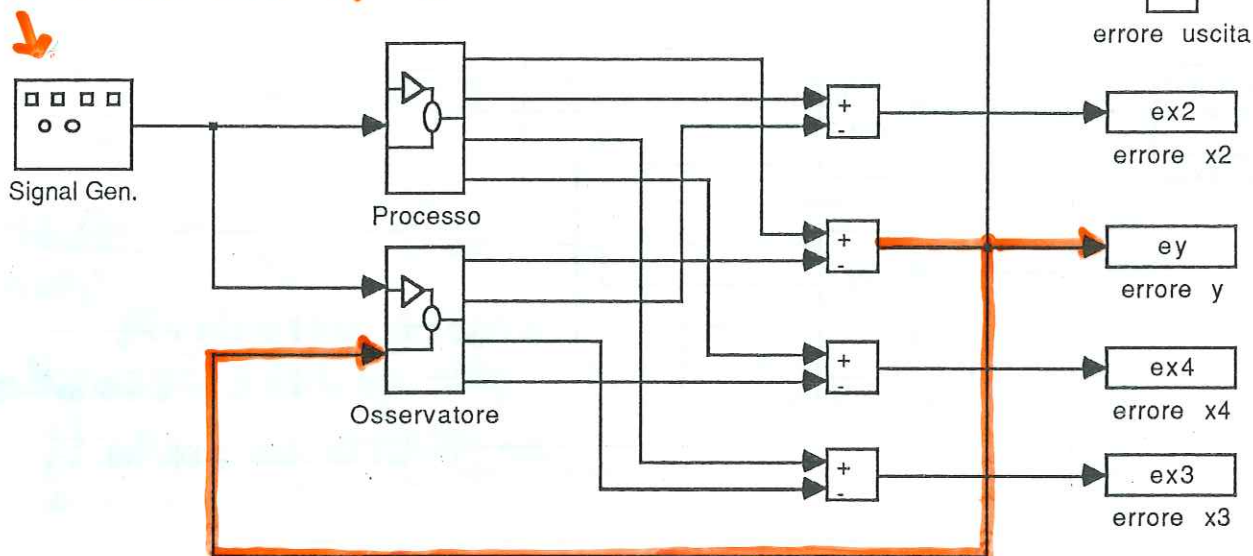
onda  
quadrata



simulazioni effettuate con RK23,  $t_{\text{samp}} = 0.01$

# Osservatore ad ANELLO CHIUSO

onda quadra unitaria  
periodo  $2\pi$  sec (frequenza 1 rad/sec)

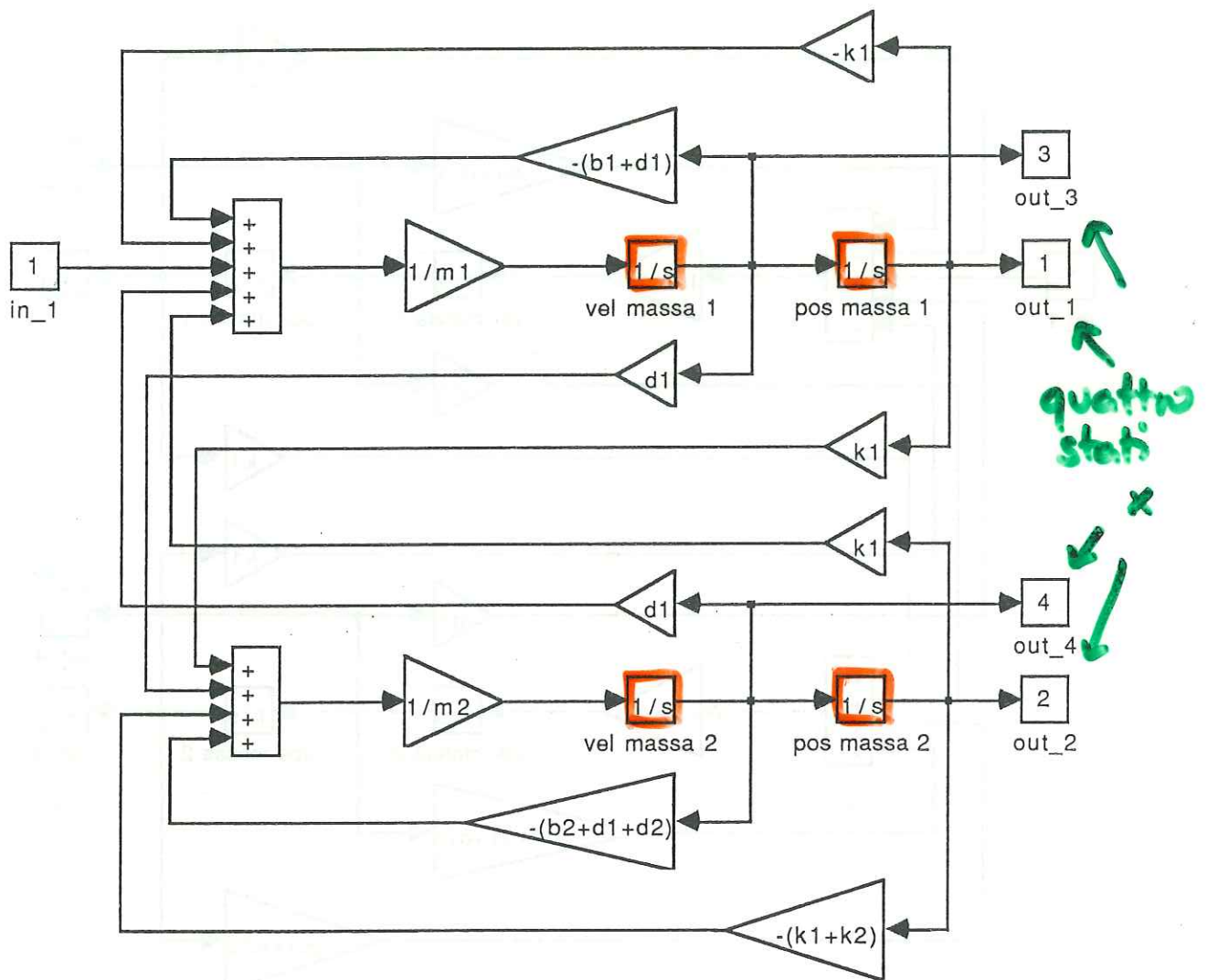


realizzazione "interna"

N.B. il processo ha 1 solo ingresso

L'osservatore ha 2 ingressi

- 1 coincidente con quello del processo
- 1 è il "fortamento" dovuto all'errore in uscita  $y - \hat{y}$



## Schema a blocchi del processo

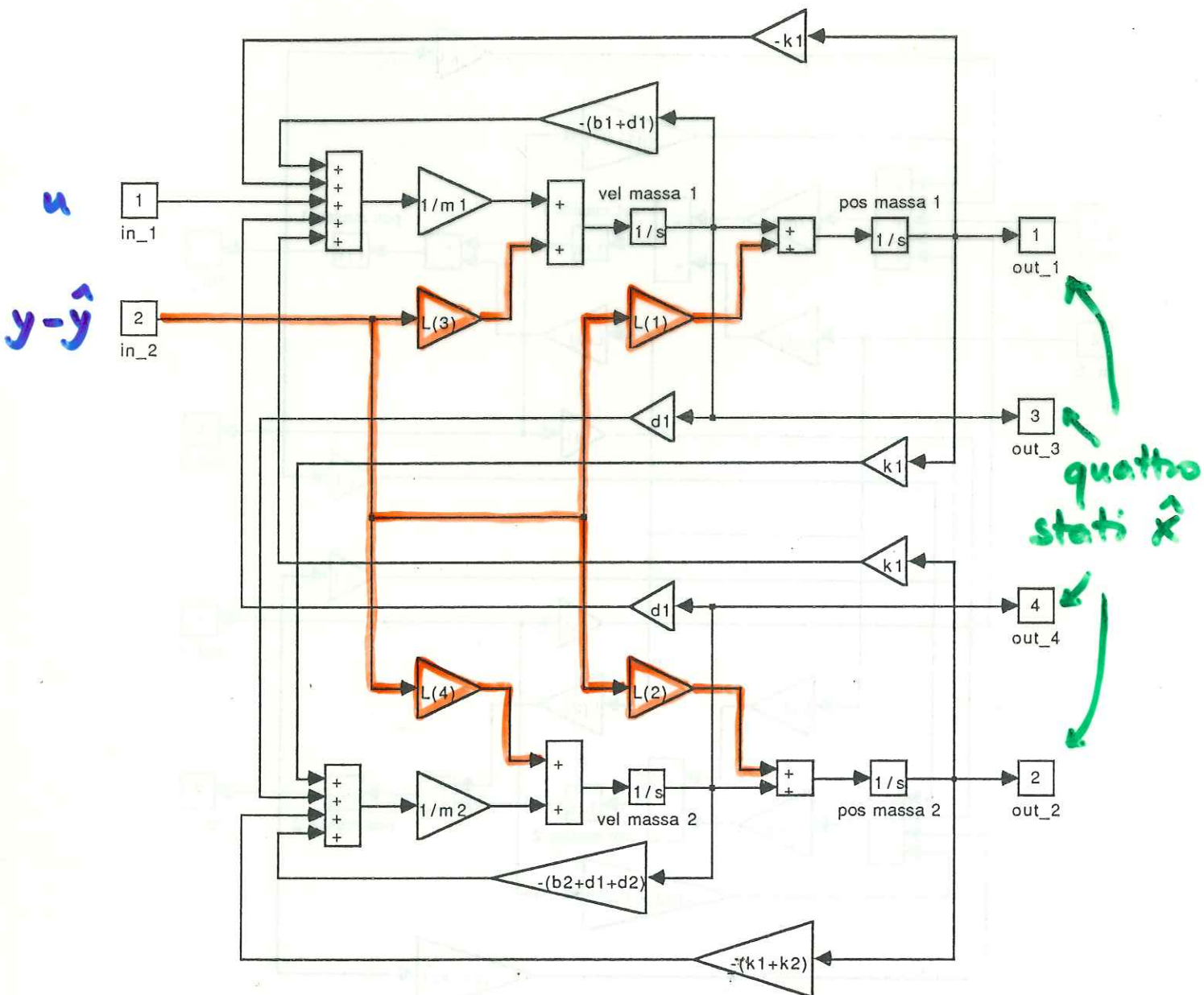
$$\dot{x} = Ax + Bu \quad x \in \mathbb{R}^4$$

$$y = Cx \quad u, y \in \mathbb{R}$$

$\underbrace{\hspace{2em}}_{= x_1}$

N.B. Con i dati numerici, autovalori processo in

$$\sigma(A) = \{-1.809 \pm j16.079, -0.691 \pm j6.142\}$$



**Schema 2 blocchi dell'osservatore**

$$\dot{\hat{x}} = A \hat{x} + Bu + L(y - \hat{y})$$

$$\hat{y} = C \hat{x}$$

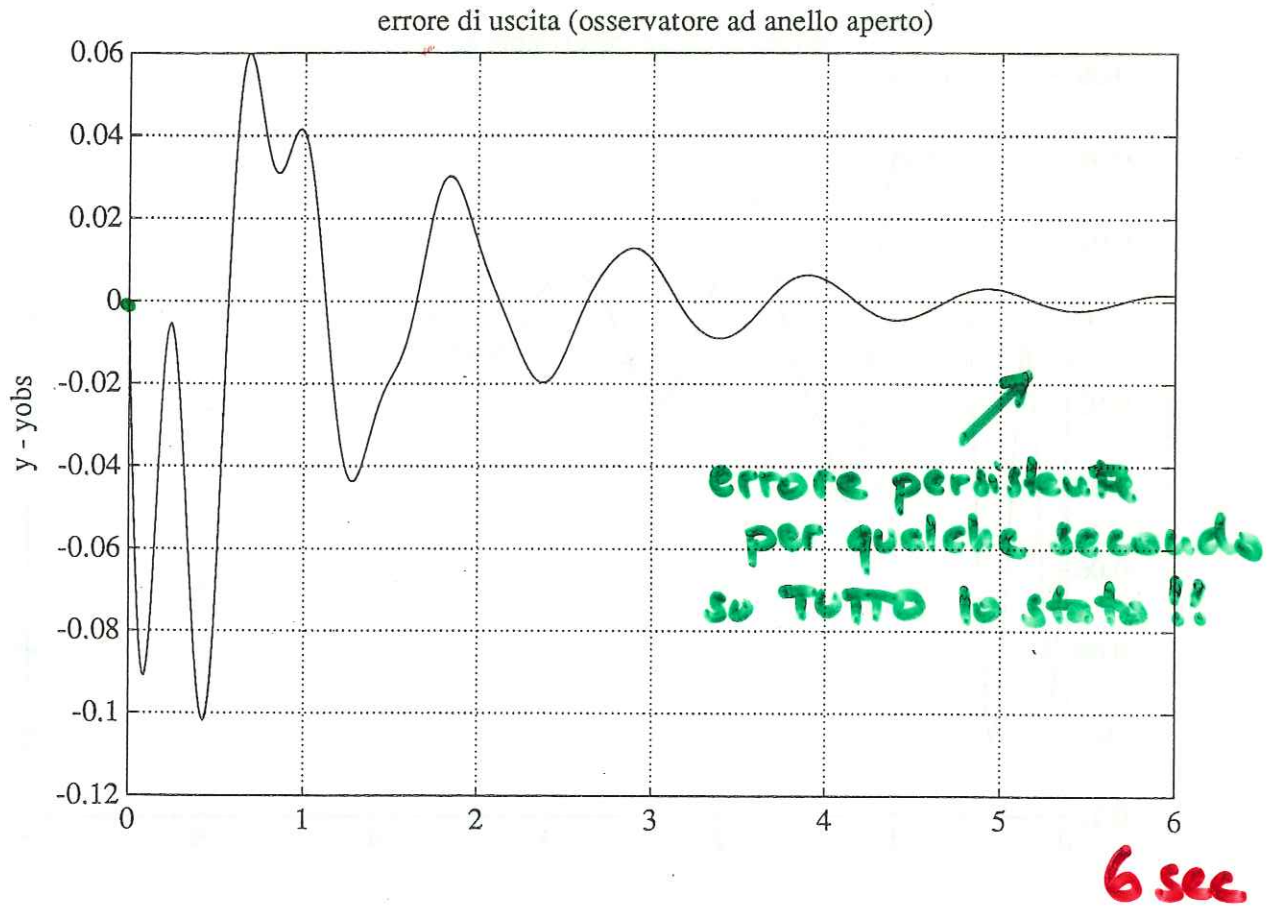
$$\hat{x} \in \mathbb{R}^4$$

$$u, y, \hat{y} \in \mathbb{R}$$

$\hat{x} = \begin{bmatrix} \hat{x}_1 \\ \hat{x}_2 \\ \hat{x}_3 \\ \hat{x}_4 \end{bmatrix}$

N.B. L proviene dalla scelta dei poli per l'osservatore

# ad anello aperto



$$x(0) = \begin{bmatrix} 0.1 & 0.1 & -2 & 2 \end{bmatrix}$$

cm                      cm/sec

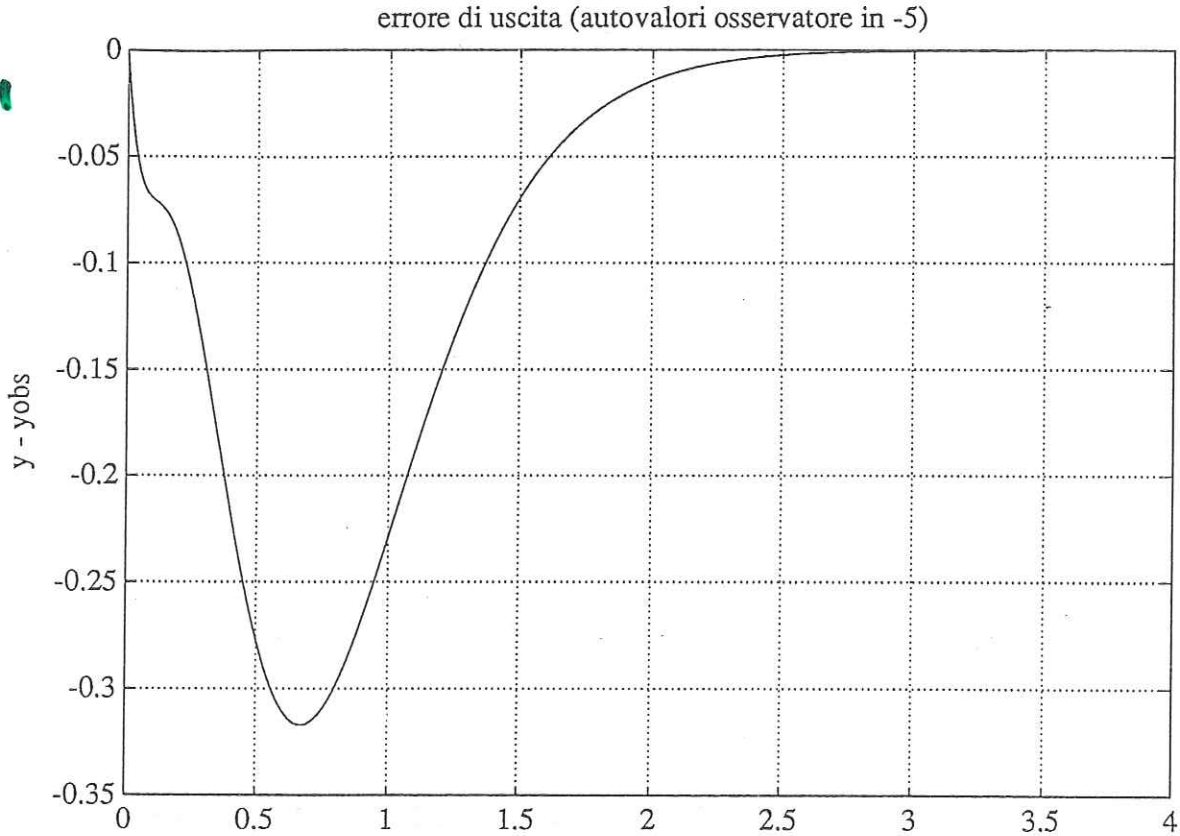
$$\hat{x}(0) = \begin{bmatrix} 0.1 & 0 & 0 & 0 \end{bmatrix}$$

**N.B.** L'errore di uscita parte da zero perché

$$x_1(0) = y(0) = \hat{x}_1(0)$$

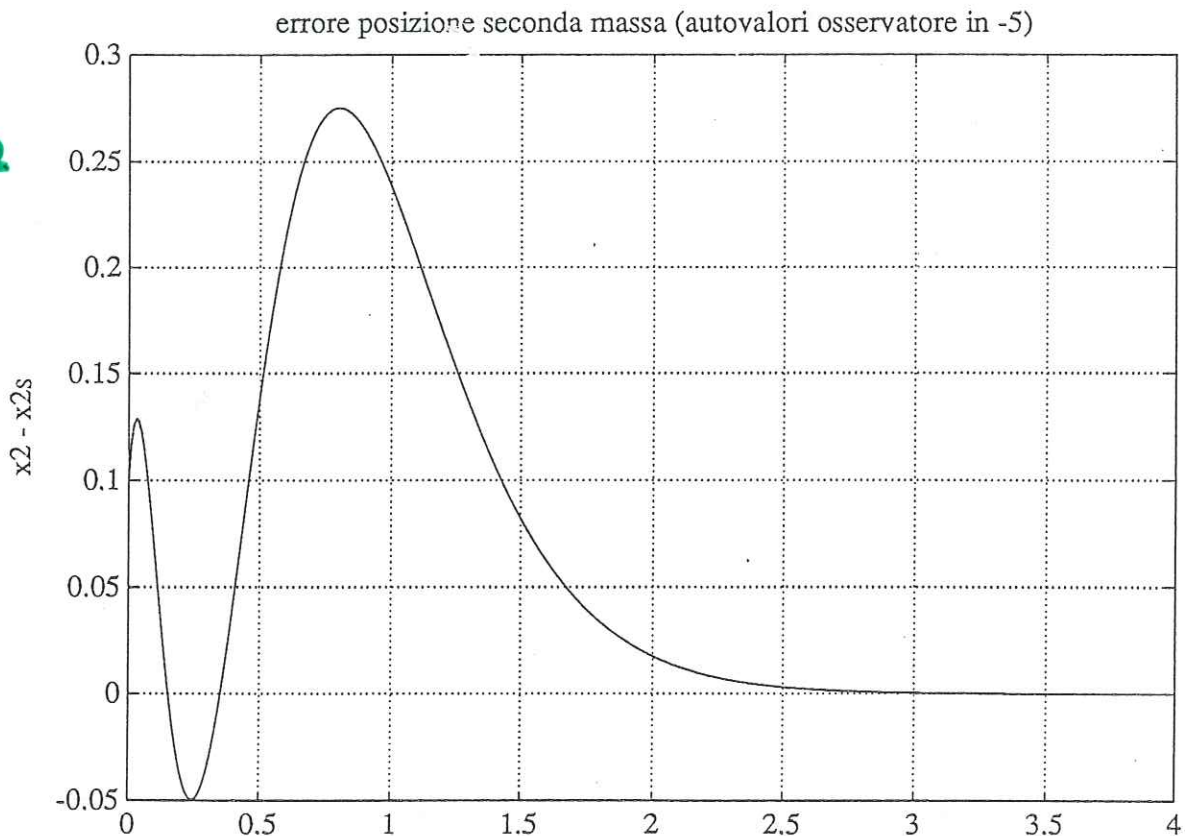
# osservatore di Luenberger : $\lambda = -5$ coincidenti

$$x_1 - \hat{x}_1$$



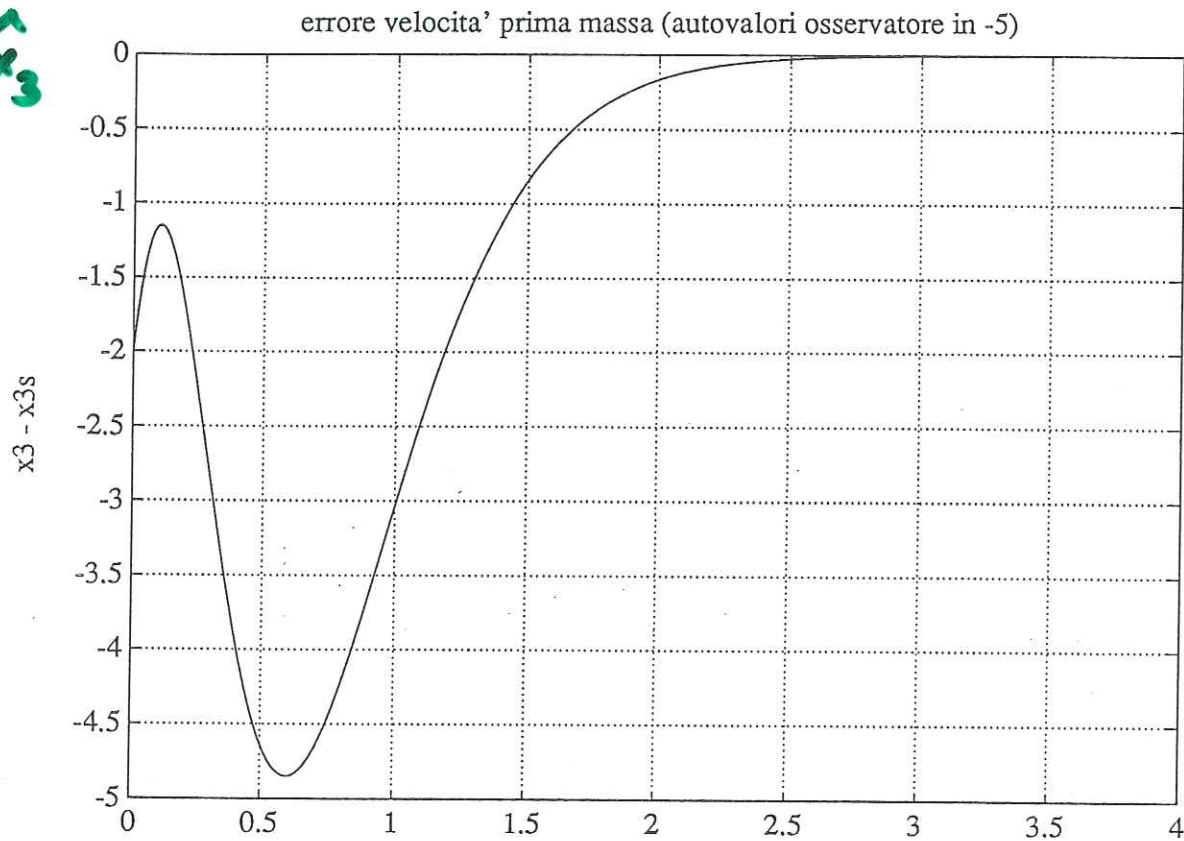
## errori di stima posizione masse $m_1$ e $m_2$

$$x_2 - \hat{x}_2$$



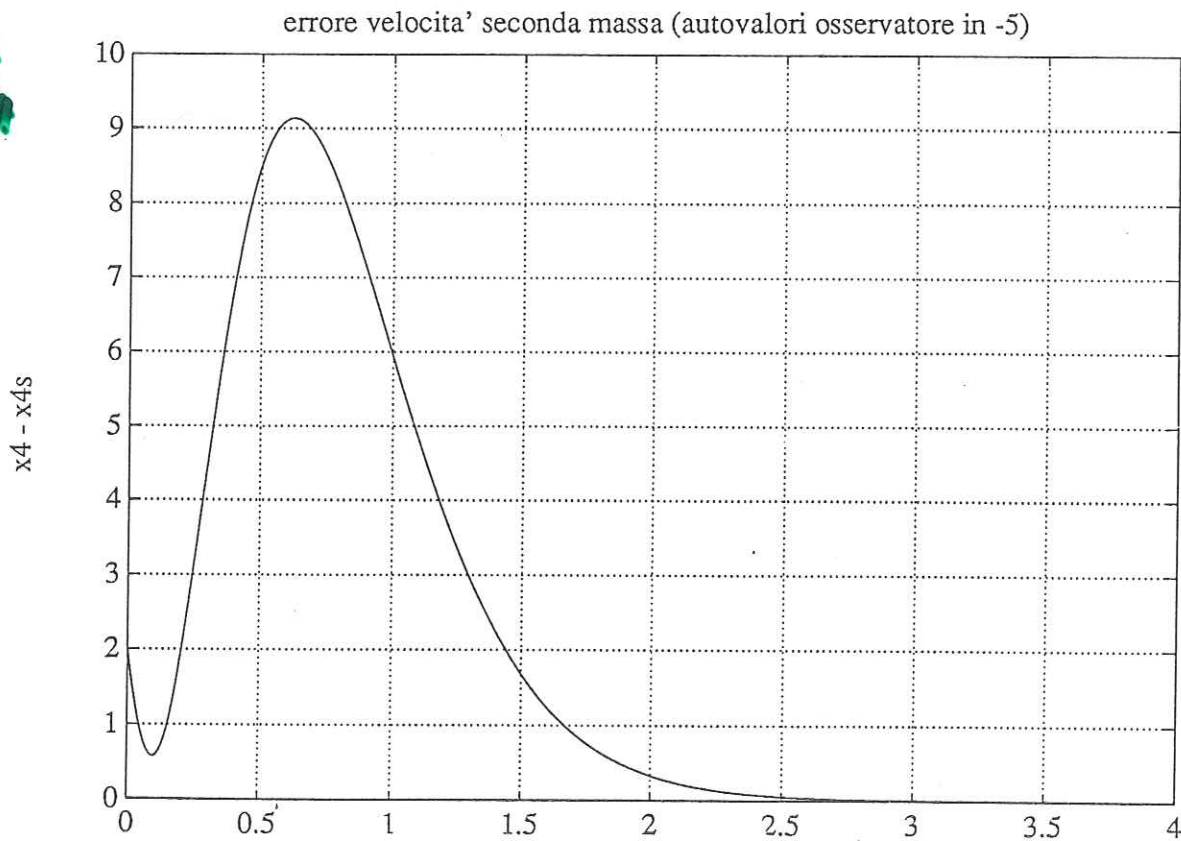
$$\lambda = -5$$

$$x_3 - \hat{x}_3$$



errori di stima velocita' masse  $m_1$  e  $m_2$

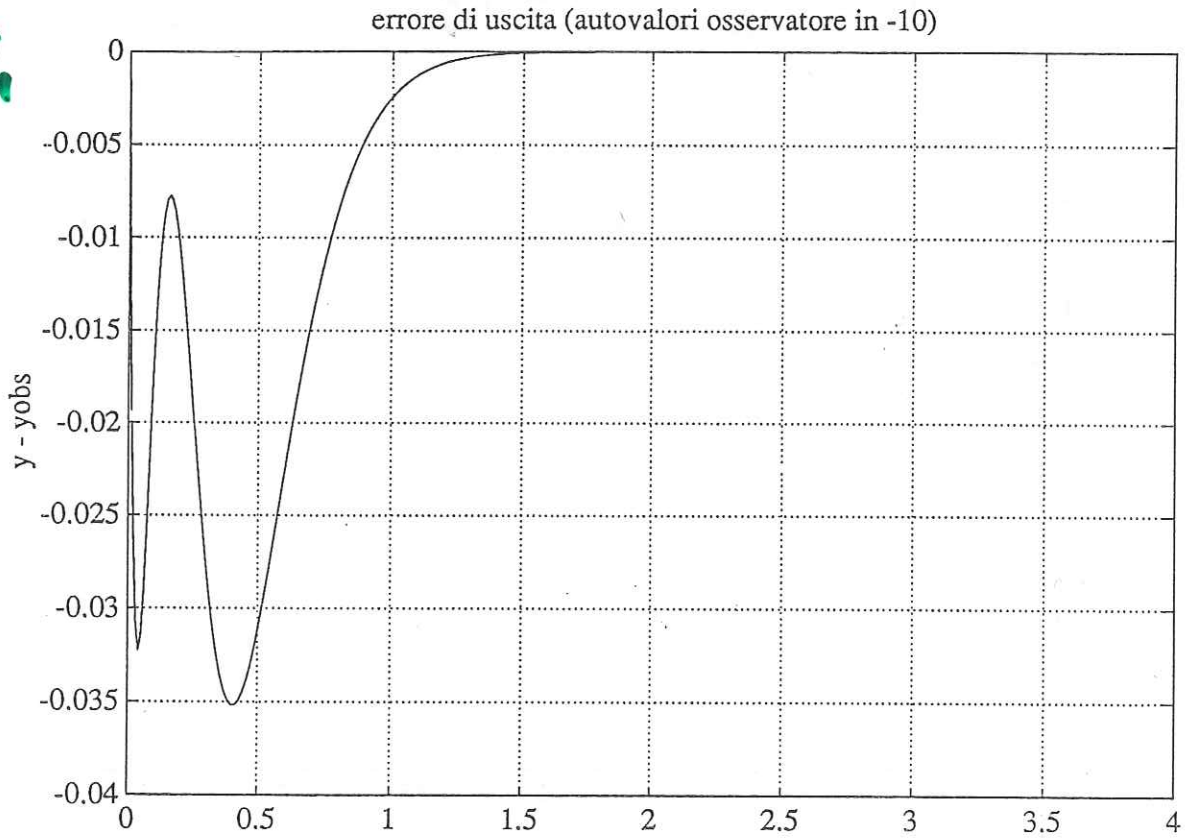
$$x_4 - \hat{x}_4$$





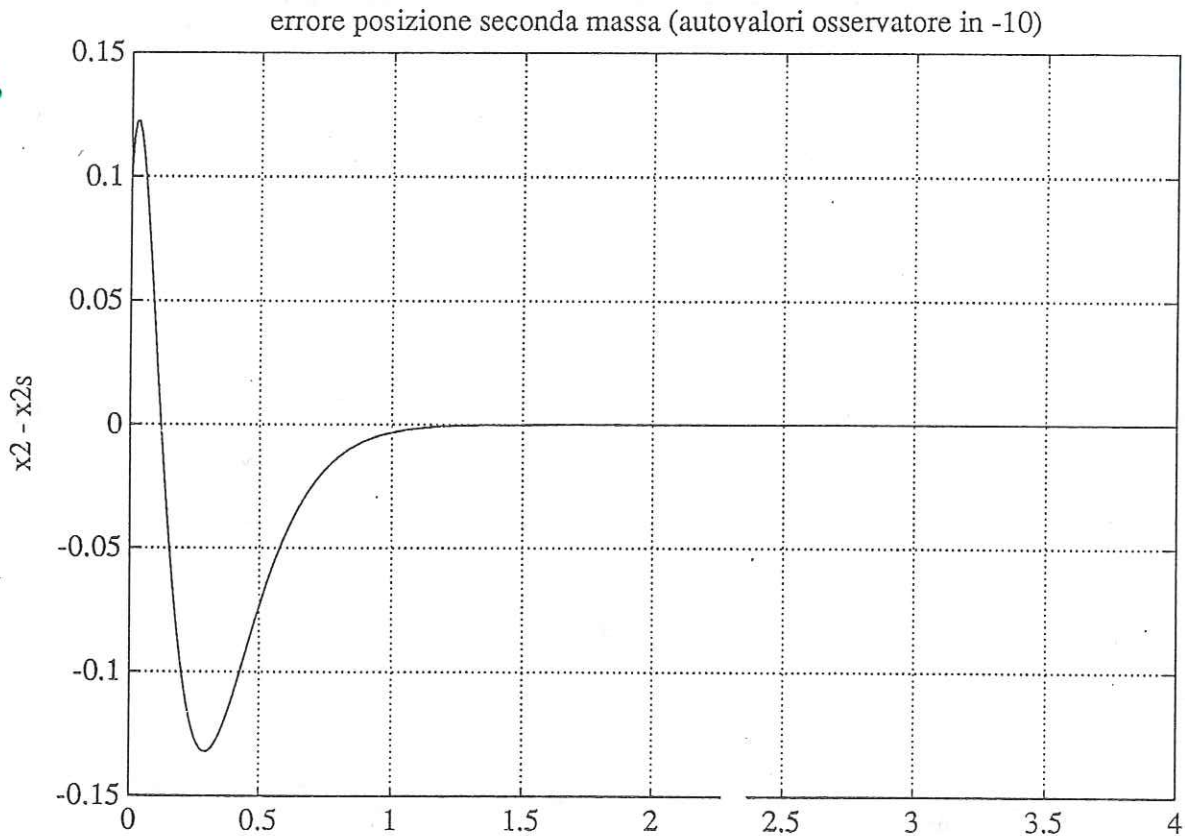
# osservatore di Luenberger : $\lambda = -10$ coincidenti

$$x_1 - \hat{x}_1$$



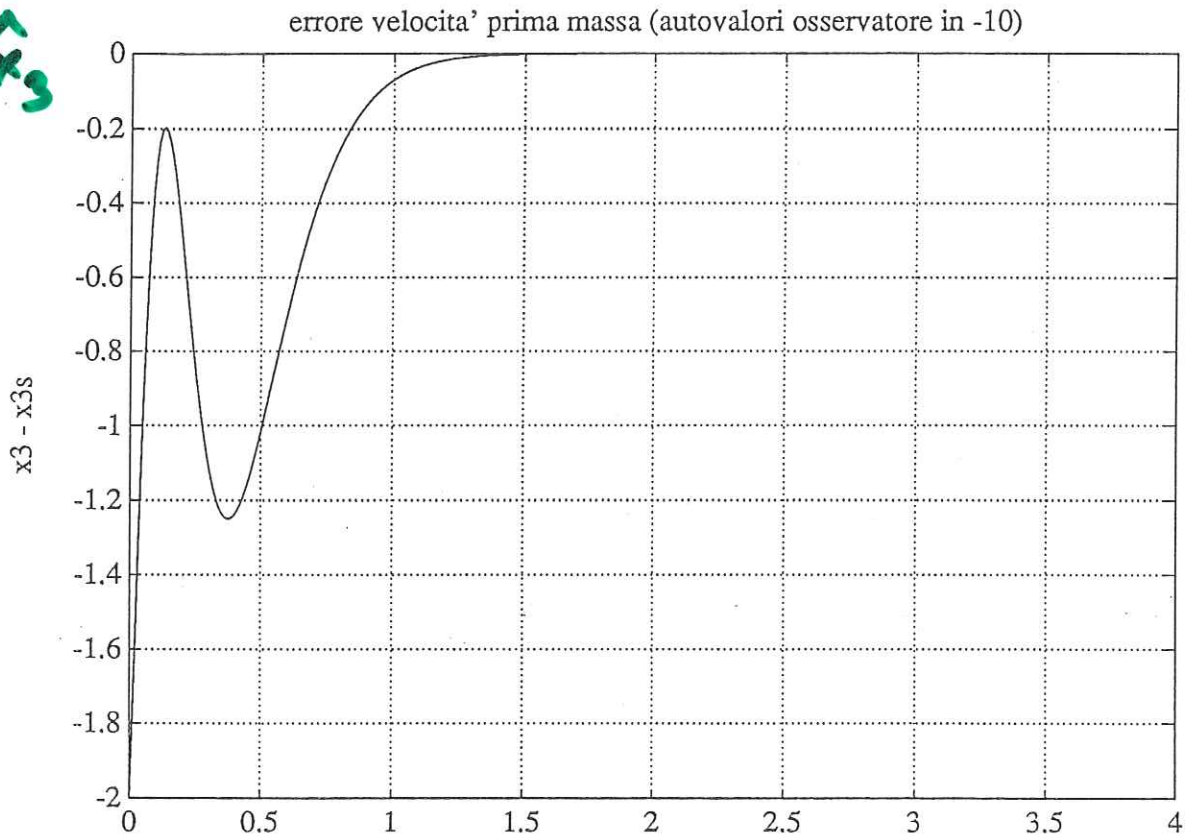
## errori di stima posizione masse $m_1$ e $m_2$

$$x_2 - \hat{x}_2$$



$$\lambda = -10$$

$$x_3 - \hat{x}_3$$



errori di stima velocità masse  $m_1$  e  $m_2$

$$x_4 - \hat{x}_4$$

